



**ΠΟΛΥΤΕΧΝΕΙΟ ΚΡΗΤΗΣ**  
**ΣΧΟΛΗ ΗΛΕΚΤΡΟΛΟΓΩΝ ΜΗΧΑΝΙΚΩΝ ΚΑΙ ΜΗΧΑΝΙΚΩΝ ΥΠΟΛΟΓΙΣΤΩΝ (Η.Μ.ΜΥ)**  
**ΤΗΛΕΠΙΚΟΙΝΩΝΙΑΚΑ ΣΥΣΤΗΜΑΤΑ 1 – ΤΗΛ301**  
**ΑΝΑΦΟΡΑ ΕΡΓΑΣΤΗΡΙΑΚΗΣ ΑΣΚΗΣΗΣ 1**

**Σπουδαστής:**

**Παντελής Κωνσταντίνος    2015030070**

**Σκοπός Άσκησης:**

Μελέτη επικοινωνίας βασικής ζώνης υπό διαμόρφωση 2- ΡΑΜ και αποκομμένους παλμούς Square Root Raised Cosine (SRRC).

**Περί Υλοποίησης – Οργάνωση Εργασίας:**

Η προσομοίωση των ζητηθέντων συνθηκών καθώς και η υλοποίηση των, κατά την εκφώνηση, ζητούμενων αποτελεί παραλλαγή της υλοποίησης που εστάλη και βαθμολογήθηκε το ακαδημαϊκό έτος 2019-20, ενώ πραγματοποιήθηκε στο κέλυφος Matlab (εκδ. R2018b) σε Linux.

Αναφορικά με την κατάτμηση της παρούσης, οργανώνεται στα λογικά στάδια Α, Β και Γ (έκαστο για κάθε ομάδα ερωτημάτων), ενώ προστέθηκε και η ενότητα “Εισαγωγικά” για τα προστιθέντα (σε σχέση με το 2019) ερωτήματα.

Ο κώδικας τόσο για το κυρίως μέρος, όσο και για τις συναρτήσεις αλλά και σχολιασμός, όπου αυτό έχει έννοια, βρίσκονται στα αντίστοιχα παραρτήματα.

## Υλοποίηση Εργασίας:

### Εισαγωγικό Μέρος:

**Θ1.**

$$R_{xx}(t_1, t_2) = E[X_1(t) X_2(t)] = \iiint_{-\infty}^{+\infty} \frac{1}{\sqrt{T}} \frac{1}{\sqrt{T}} x_1 x_2 dx_1 dx_2 = \iiint_{-T/2}^{+T/2} \frac{1}{T} x_1 x_2 dx_1 dx_2 = \int_{-T/2}^{+T/2} x_1 \left[ \frac{(T/2)^2 - (-T/2)^2}{2} \right] dx_1 = 0$$

**επίσης  $E[X(t)] = 0$ , άρα η  $\Phi(\tau)$  στάσιμη WSS.**

**Θ2.**

$$R_{xx}(t_1 - 10, t_2 - 10) = E[X_1(t - 10) X_2(t - 10)] = \iiint_{-\infty}^{+\infty} \frac{1}{\sqrt{T}} \frac{1}{\sqrt{T}} x_1 x_2 dx_1 dx_2 = \iiint_{-T/2+10}^{+T/2+10} \frac{1}{T} x_1 x_2 dx_1 dx_2$$

$$R_{xx}(t_1 - 10, t_2 - 10) = \int_{-T/2+10}^{+T/2+10} x_1 \left[ \frac{(T/2+10)^2 - (-T/2+10)^2}{2} \right] dx_1 = 5 \times 20 T = 100 T$$

### Μέρος Α:

Υλοποίηση παλμών SRRC μέσω δοθείσας συνάρτησης και σχεδιασμό αυτών σε κοινό γράφημα. Οι αρχικές παράμετροι ακολουθούν:

$$T = 10^{-3} \text{ sec.}$$

$$A = 4.$$

$$a = [0 \ 0.5 \ 1] \text{ Τιμές roll – off factor.}$$

$$Ts = \frac{T}{\text{over}}$$

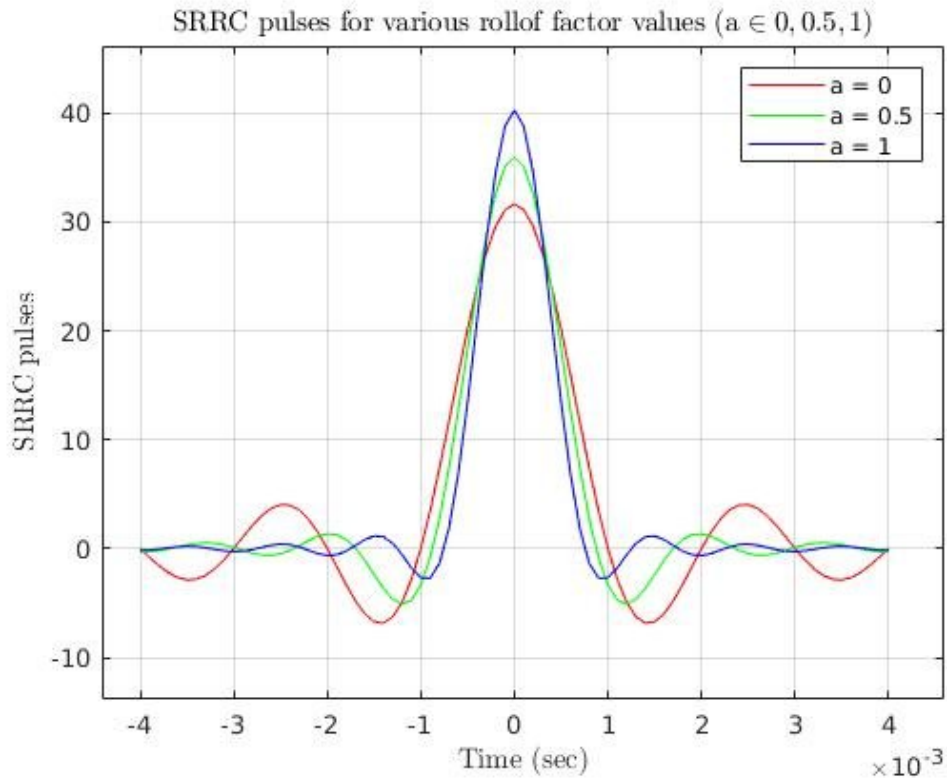
Εν γένει παλμός SRRC ορίζεται ως:

$$s(t) = \frac{1}{\sqrt{T}} \text{sinc}\left(\frac{t}{T}\right), a = 0$$

$$s(t) = \frac{4a}{\sqrt{\pi}T} \frac{\cos\left[\frac{(1+a)\pi t}{T}\right] - \frac{T}{4at} \sin\left[\frac{(1-a)\pi t}{T}\right]}{1 - \left(\frac{4at}{T}\right)^2} a \in (0, 1)$$

Παρακάτω ακολουθούν απεικονίσεις και συγκρίσεις παλμών SRRC για διαφορετικούς συντελεστές αποκοπής ( $\alpha$  – rolloff factor) καθώς και ολισθήσεις αυτών για διαφορετικούς συντελεστές ολίσθησης ( $k$ ).

A1.



Σχολιάζοντας τα παρακάτω μπορούν να εξαχθούν τα εξής συμπεράσματα:

- Αύξηση του συντελεστή  $\alpha$  (roll-off factor), θα αυξήσει το ρυθμό με τον οποίο το πλάτος του παλμού μειώνεται. Εντονότερη απόσβεση δηλαδή όσο αυξάνεται ο χρόνος.
- Οι παλμοί έχουν κοινή διάρκεια ( $2A$ ).
- Μείωση περιόδου ταλάντωσης για αύξηση του  $\alpha$ .
- Αύξηση στο μέγιστο του εκάστοτε παλμού για αύξηση του  $\alpha$ .

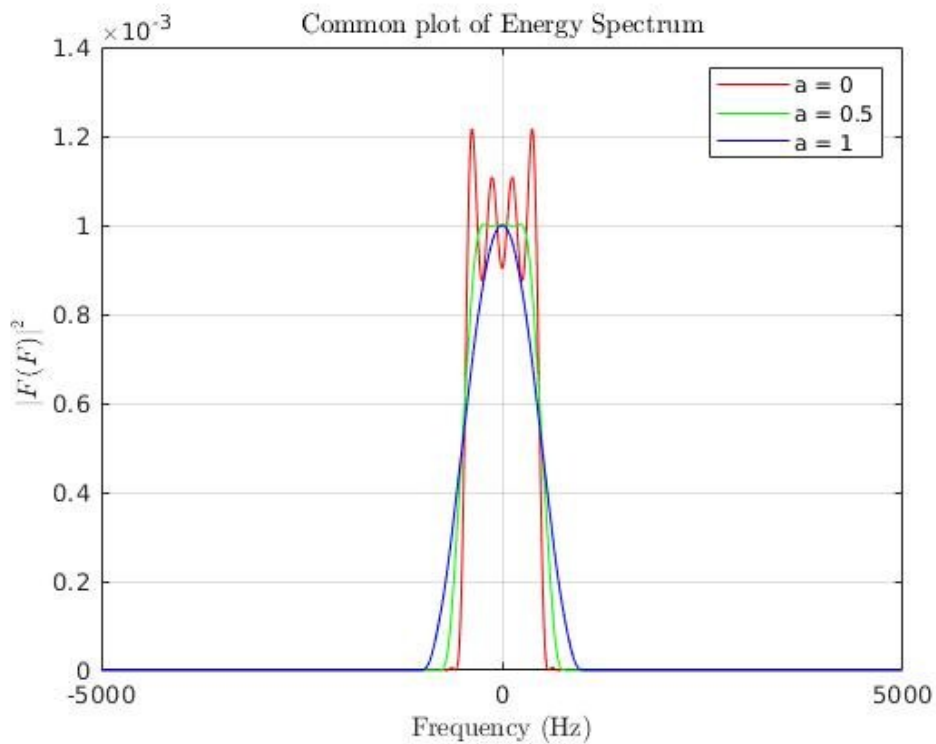
Σημαντικές διαφορές μπορούν να ειπωθούν και στο πεδίο της συχνότητας κατά τη μεταβολή του roll-off factor ( $\alpha$ ).

## A2.

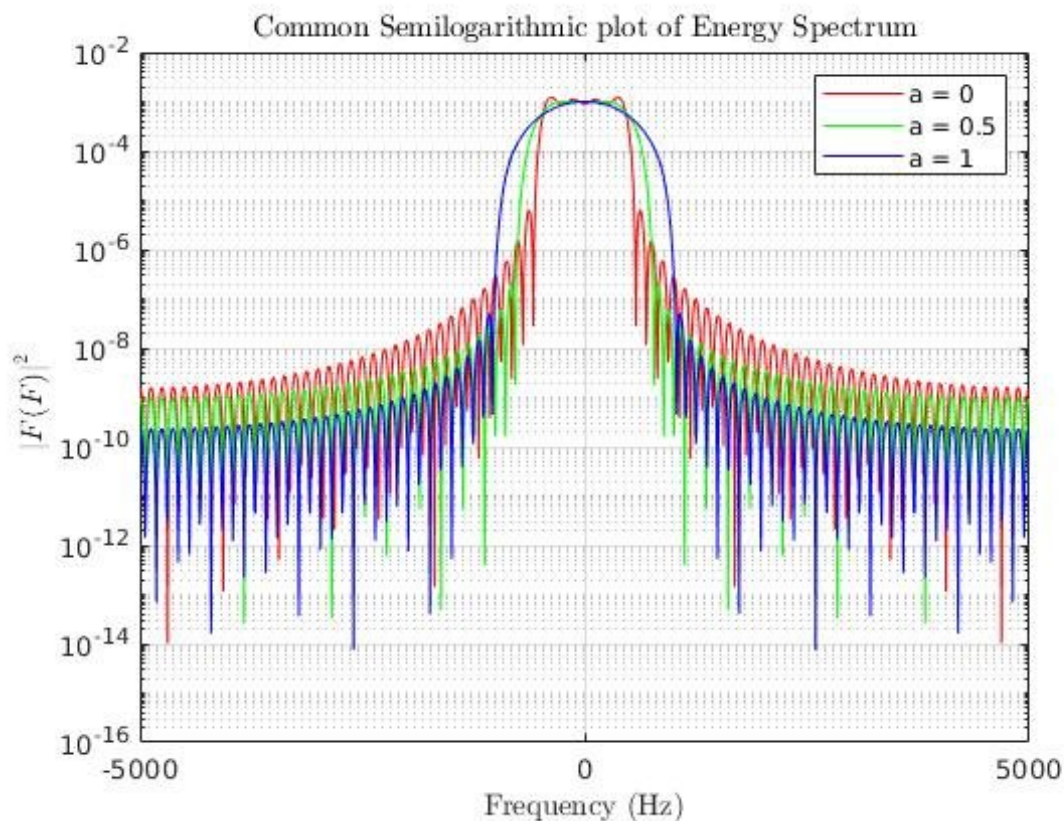
Χρησιμοποιώντας τις συναρτήσεις `fft` και `fftshift` για τον υπολογισμό των αντίστοιχων μετασχηματισμών Fourier  $\Phi(F)$  σε δοθέν εύρος φάσματος  $[-Fs/2, Fs/2]$ , το οποίο διαμορφώθηκε κατάλληλα ώστε να εμφανίζονται τα  $Nf$  ισάπέχοντα σημεία στον άξονα συχνοτήτων.

Στη συνέχεια, σχεδιάστηκε η φασματική πυκνότητα ενέργειας των παλμών σε κοινό plot και `semilogy` (“συμπιεσμένη μορφή”) για  $N=1024$ .

**Σχηματικά το αποτέλεσμα (κοινό plot και των τριών):**



“Συμπεσμένη μορφή”:



Σημείωση:

**fft:** Υπολογίζει τον μετασχ. Φουριέ

**fftshift:** Ολισθαίνει το αποτέλεσμα ώστε ο Μ.Φ που παράχθηκε να έχει κέντρο το μηδέν.

Εύκολα παρατηρούμε εντονότερες διακυμάνσεις για  $a=0$  (**ripples**) στο πρώτο γράφημα οι οποίες μειώνονται με την αύξηση του roll-of συντελεστή. Η semilogy που θα σχεδιάσει τον κατακόρυφο άξονα υπο λογαριθμική κλίμακα βελτιστοποιεί την ανάλυση σε περιοχές όπου η συνάρτηση λαβαίνει ιδιαιτέρως χαμηλές τιμές (εξ' ου και “συμπίεση”). Συνεπώς η δεύτερη τεχνική μπορεί να χαρακτηριστεί ως αποδοτικότερη για μεταβολές σε μικρές τιμές.

Τέλος μπορεί να εξαχθεί το συμπέρασμα ότι η Φασματική Πυκνότητα Ενέργειας μειώνεται με την αύξηση του roll-of συντελεστή.

### A3.

Θεωρητικά το εύρος φάσματος των άπειρης διάρκειας παλμών είναι  $BW = \frac{(1+a)}{2T}$  επομένως θα προκύψουν οι εξής περιπτώσεις:

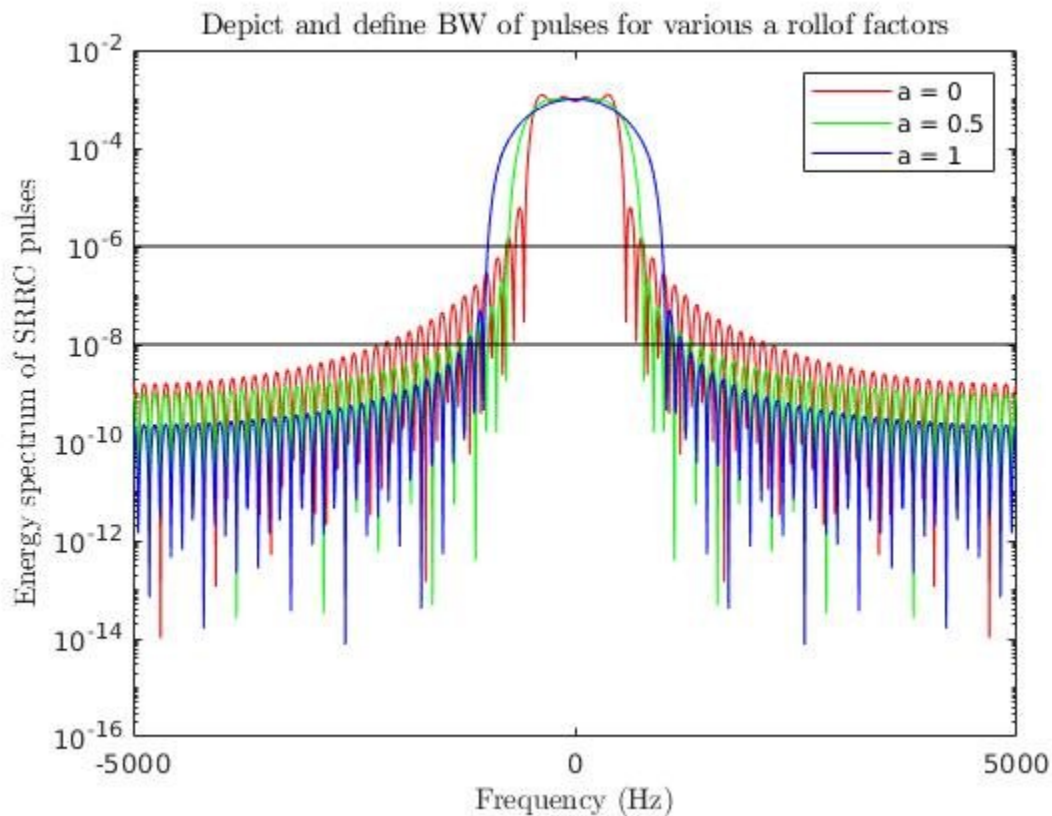
- $\alpha = 0$ :  $BW = 500$ .
- $\alpha = 0.5$   $BW = 750$ .
- $\alpha = 1$   $BW = 1000$ .

Εξαιτίας όμως του γεγονότος ότι οι αποκομμένοι παλμοί έχουν άπειρο εύρος φάσματος πρέπει να “κατασκευάσουμε” έναν πιο ρεαλιστικό ορισμό. Συνεπώς δρούμε ως εξής:

Σχεδιάζουμε δύο ευθείες **c1,c2** κάτω από τις οποίες θεωρούμε τυχόν τιμές μηδενικές. Έτσι αφού η συχνότητα δεν μπορεί να λάβει αρνητικές τιμές ως μέγεθος θα ισχύει ότι:

$$f_{\min} = 0$$

$$f_{\max} = BW \text{ (τελευταίο σ. τομή παλμού και ευθείας).}$$



Κατόπιν οδηγίας οι ευθείες σχεδιάσθηκαν στα σημεία  $(c1, c2) = (\frac{T}{10^3}, \frac{T}{10^5}) = (10^{-6}, 10^{-8})$ .

Συνεπώς μπορούμε εύκολα να διαπιστώσουμε ότι το **κριτήριο** για να χαρακτηριστεί οποιοσδήποτε παλμός βέλτιστος ως προς το εύρος ζώνης (BW) είναι **ο ορισμός του μηδέν**.

Συγκεκριμένα στην πρώτη περίπτωση και με κριτήριο την ευθεία c1, ο παλμός με το μικρότερο bandwidth (άρα και ο αποδοτικότερος) είναι αυτός για  $\alpha = 0$ , ενώ στην δεύτερη περίπτωση (με κριτήριο την ευθεία c2) ως έτοιος προκύπτει ο παλμός για  $\alpha = 0.5$ .

Με χρήση του zoom-in μπορούμε ακόμη και να υπολογίσουμε προσεγγιστικά το εύρος ζώνης για κάθε παλμό υπό το κράτος του δοθέντος κριτηρίου (ευθείας).

**c1**

<b><i>roll of factor (a)</i></b>	<b><i>BW</i></b>
0	560
0.5	750
1	999

**c2**

<b><i>roll of factor (a)</i></b>	<b><i>BW</i></b>
0	2000
0.5	1050
1	1150

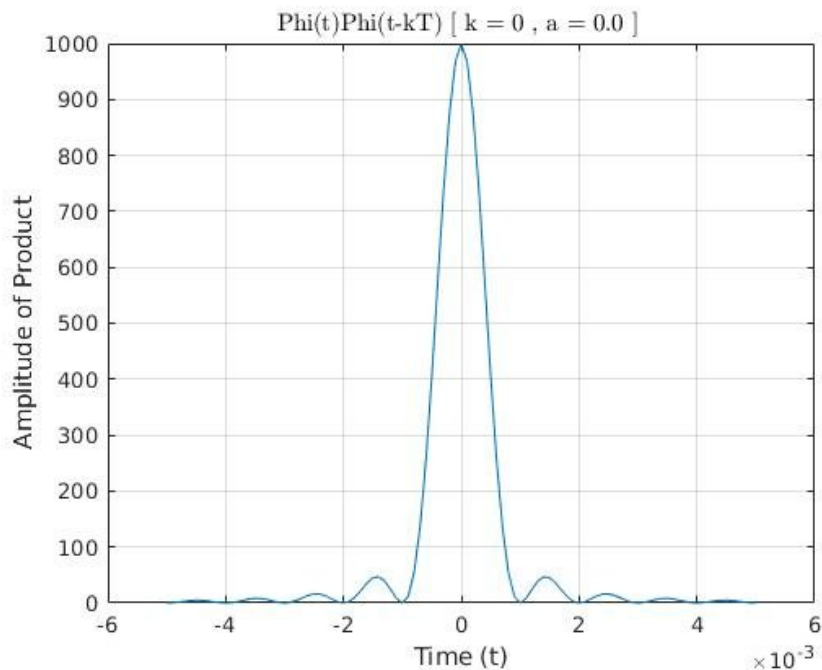
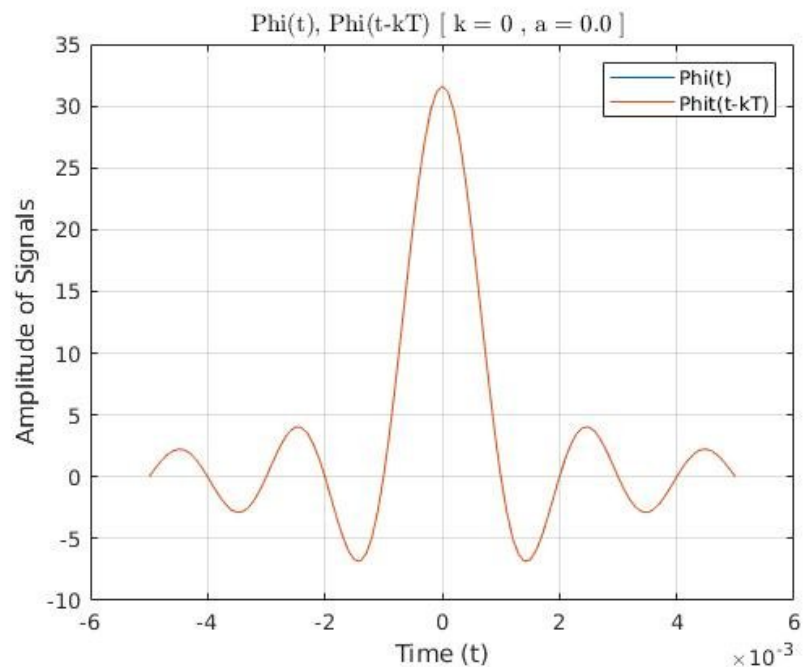


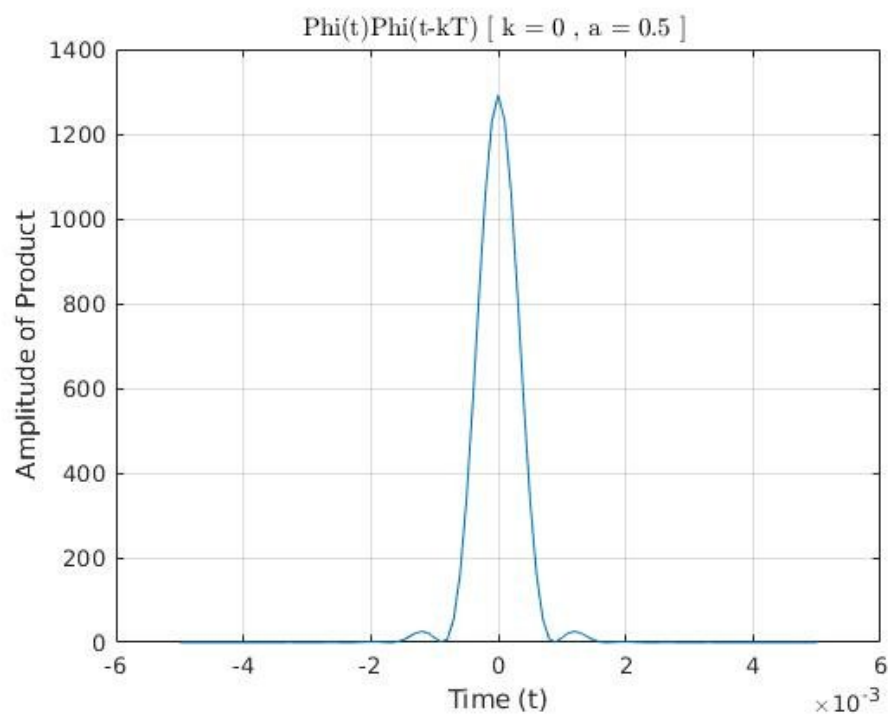
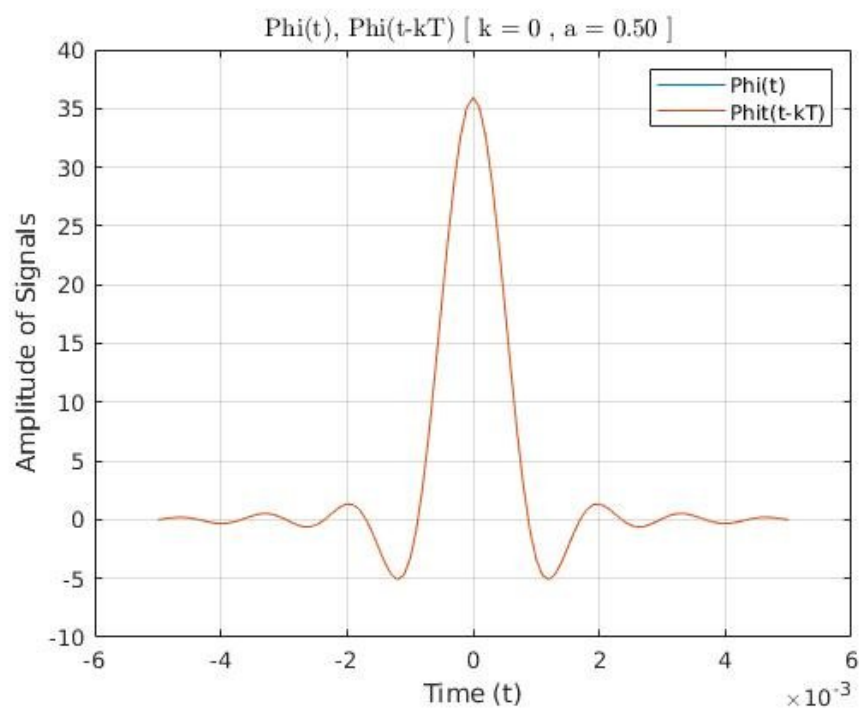
## Μέρος Β:

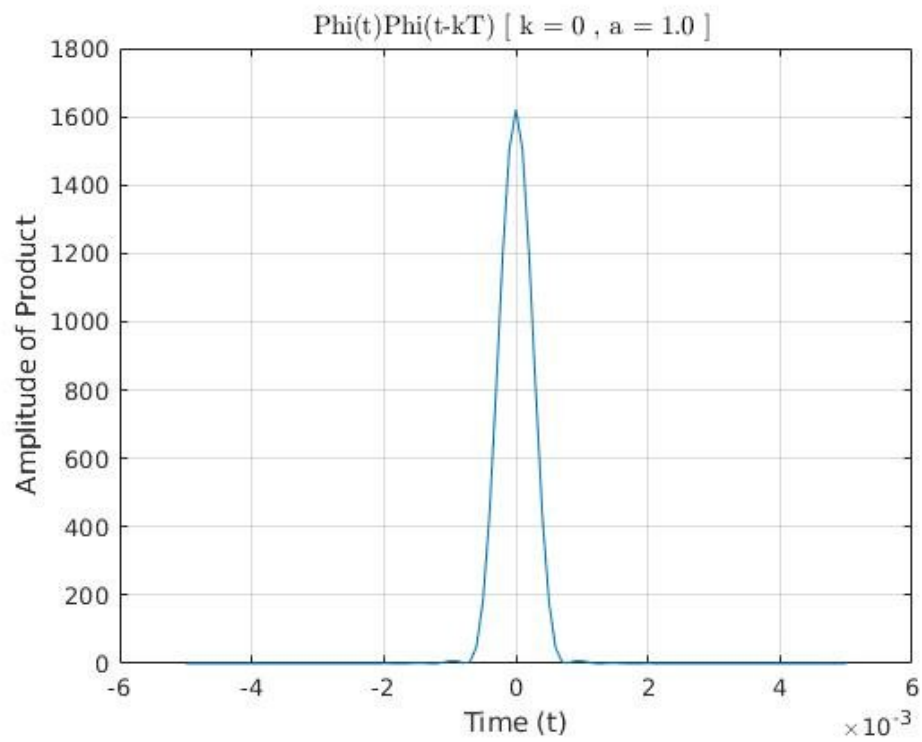
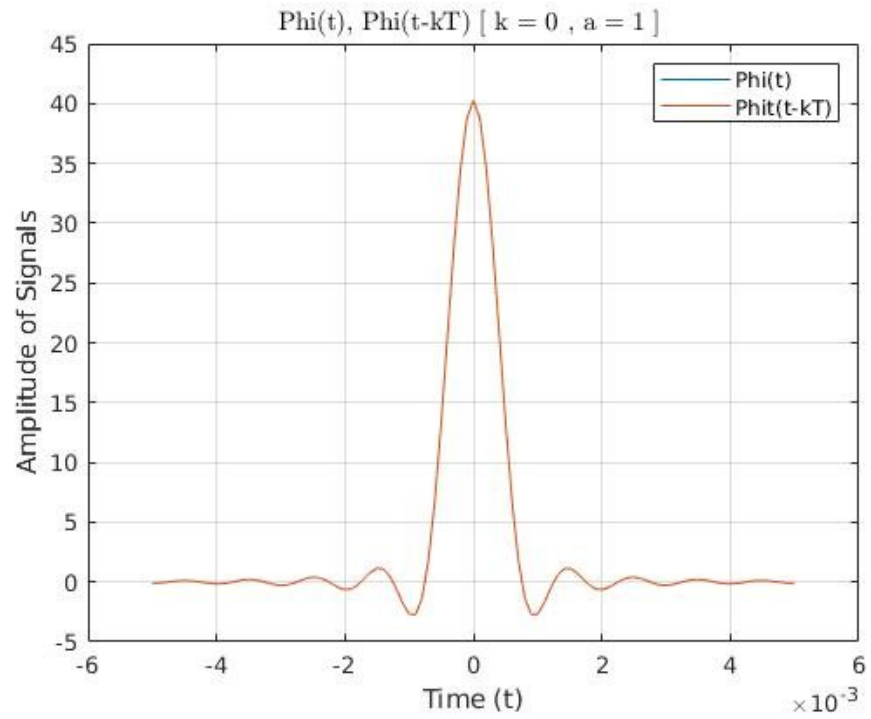
Χρησιμοποιώντας τους παλμούς που αναπτύχθηκαν στο Μέρος Α, κατασκευάστηκε μια επαναληπτική δομή με σκοπό την δημιουργία του μετατοπισμένου σήματος  $\phi(t-kT)$  με  $k = \{0,1,2,3\}$  για όλες τις τιμές των διαφορετικών  $\alpha$  ( $\alpha = \{0, 0.5, 1\}$ ).

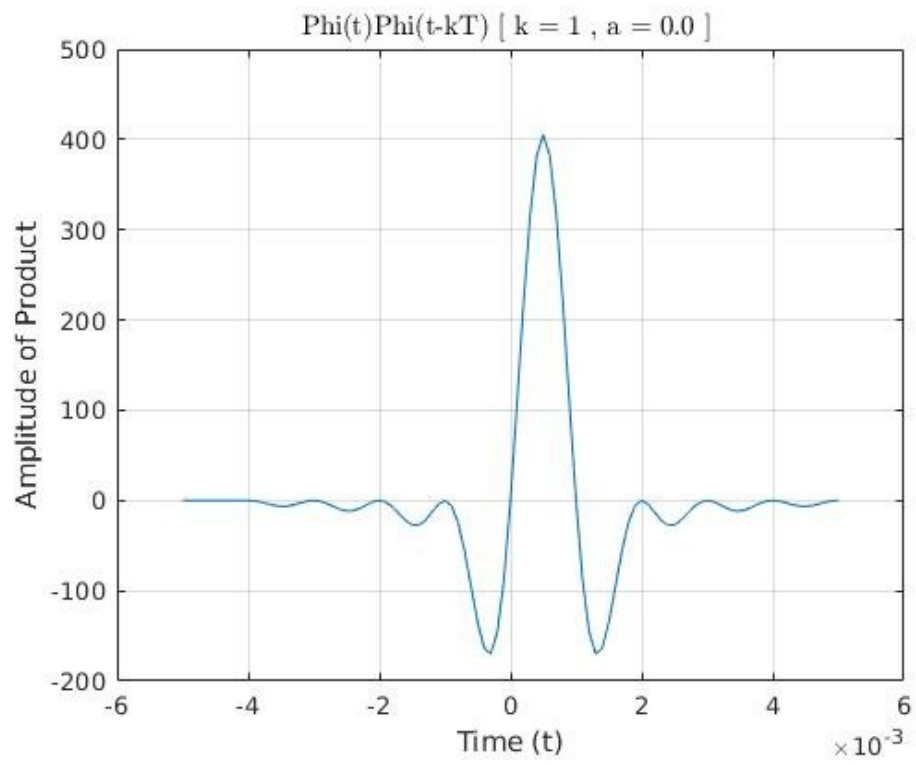
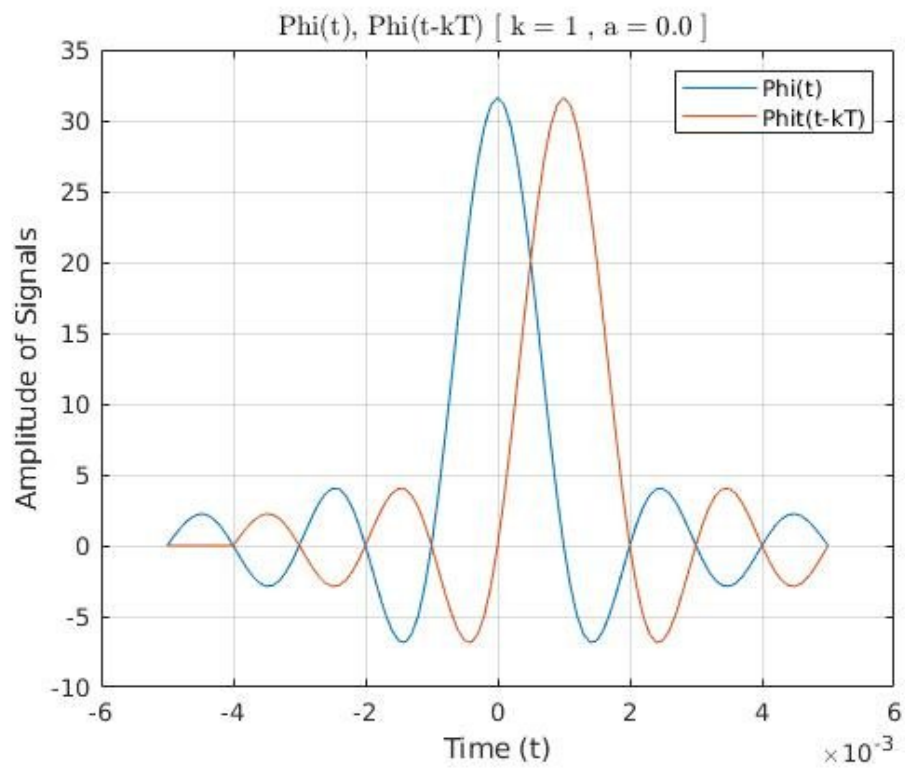
Για την μετατόπιση χρησιμοποιήθηκε η γνωστή τεχνική του zero-padding, ενώ εν τέλει σχεδιάστηκαν τόσο τα αρχικά και μετατοπισμένα σήματα (σε κοινό plot) όσο και το γινόμενο αυτών.

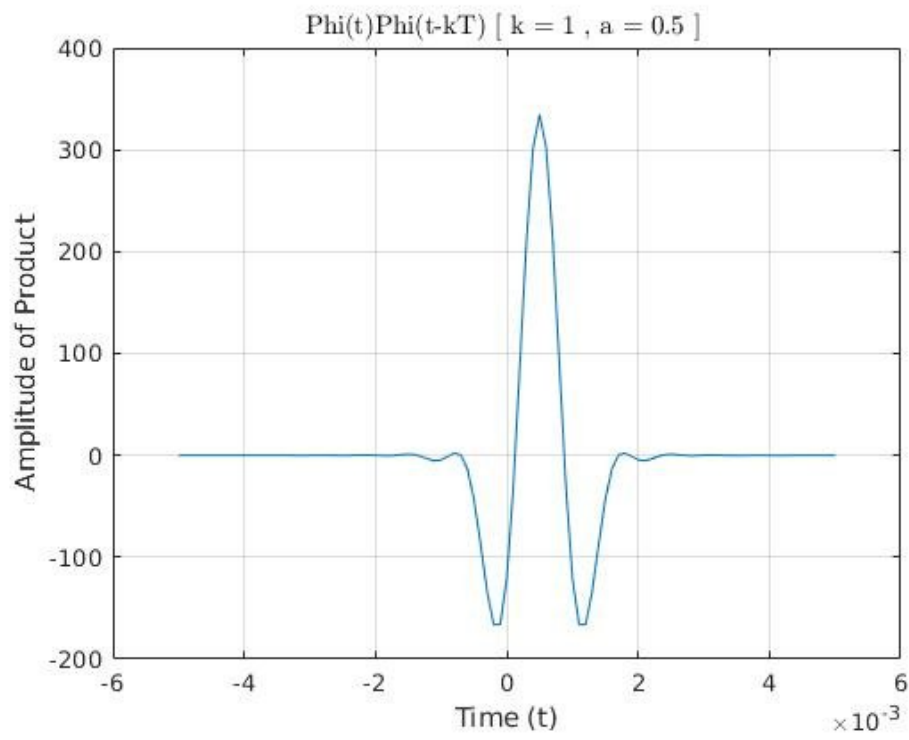
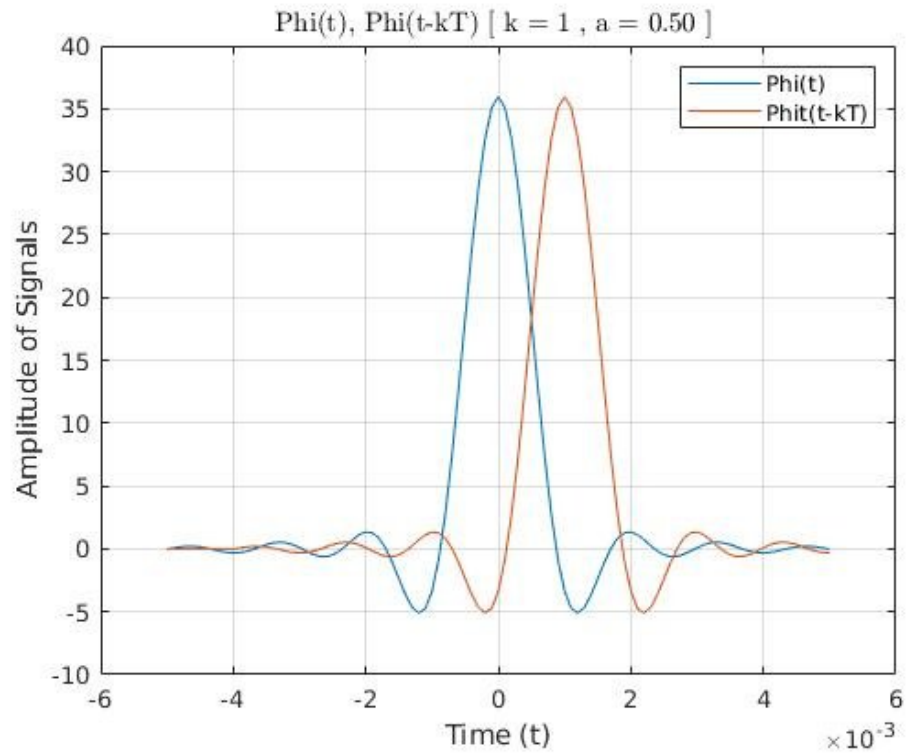
Ακολουθούν οι κυματομορφές:

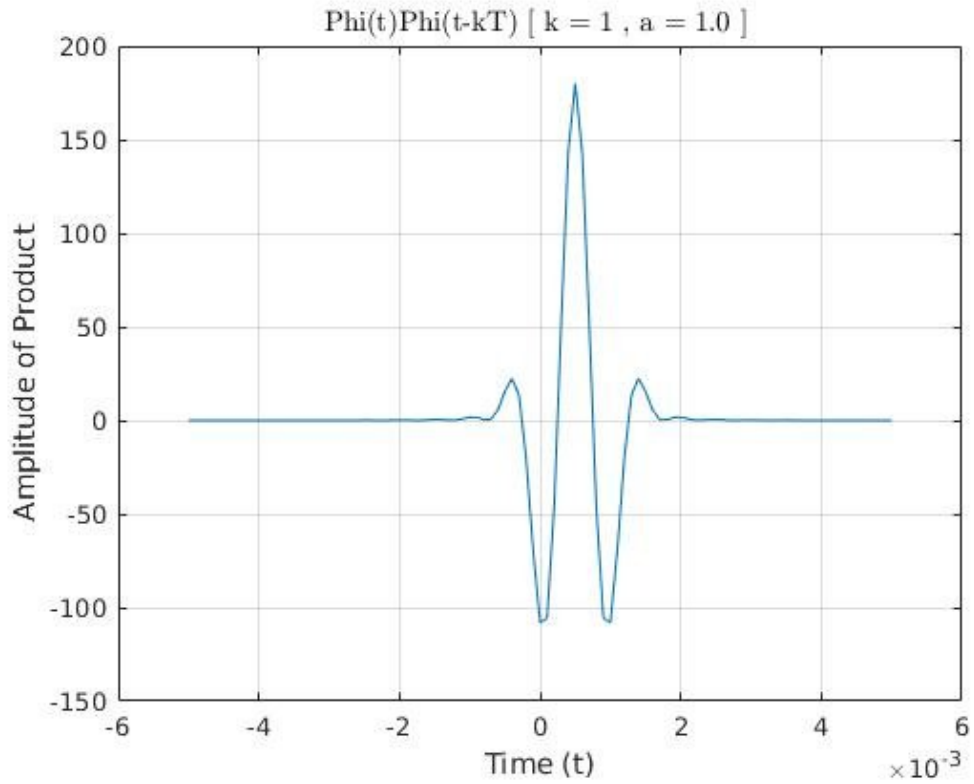
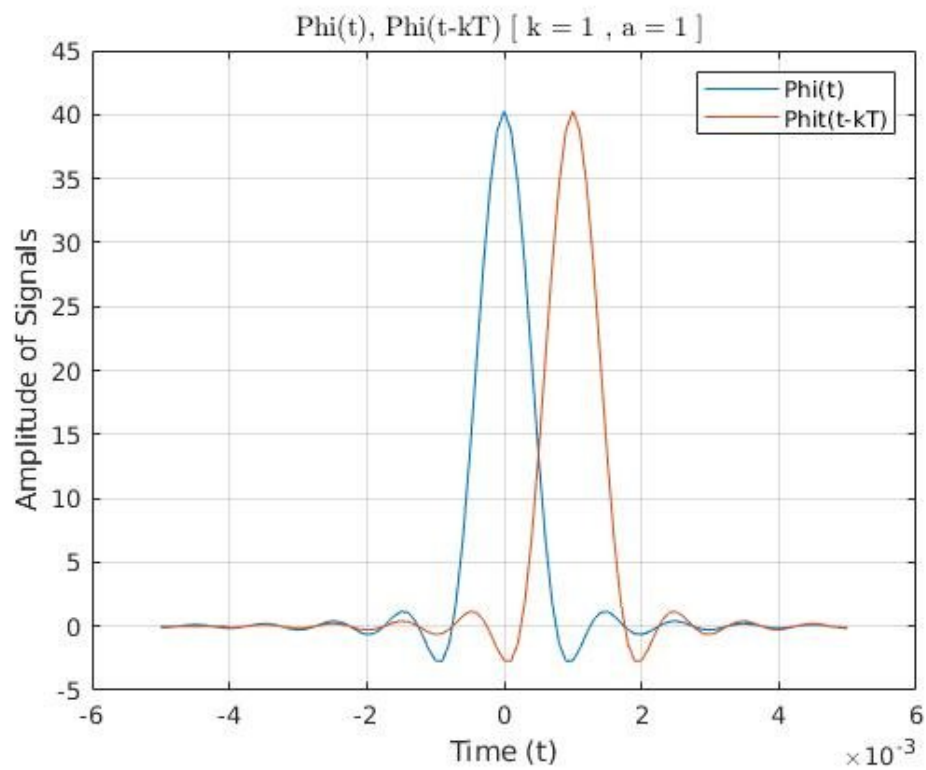


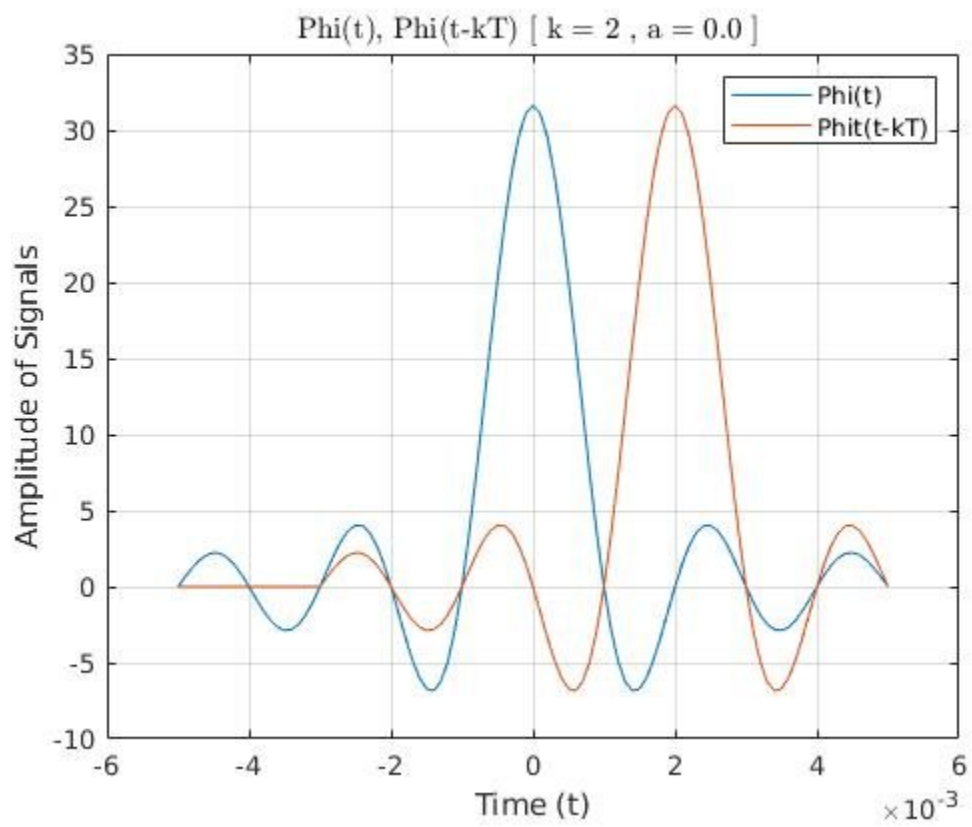


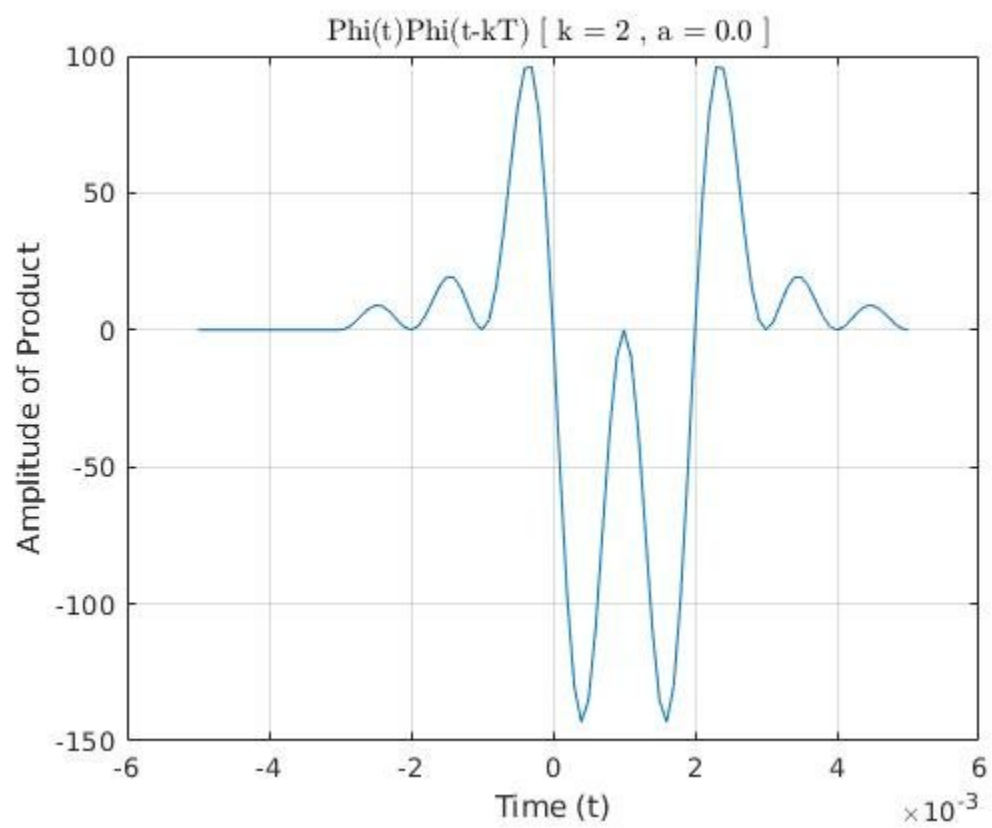




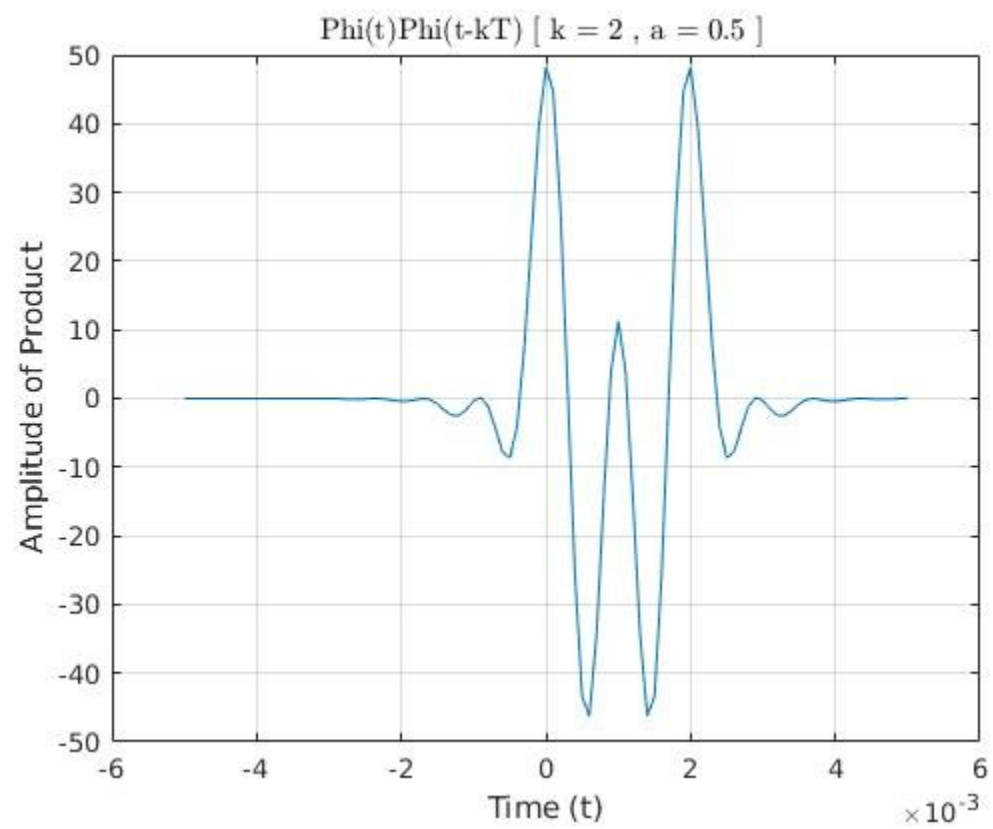
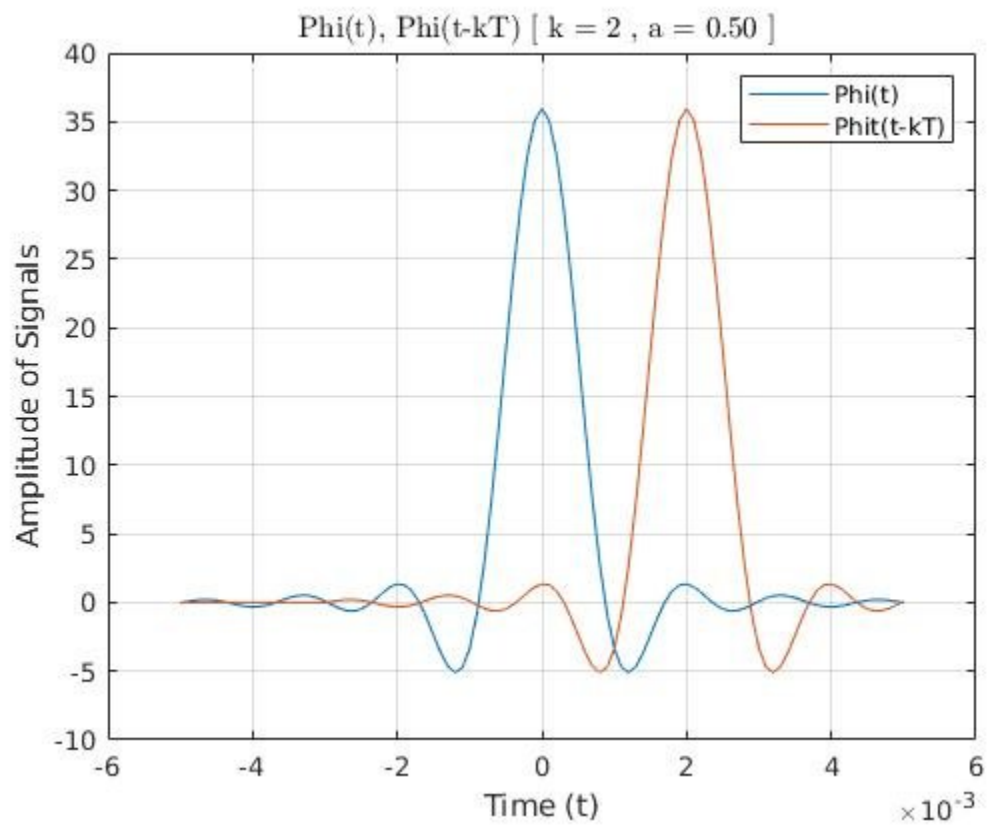


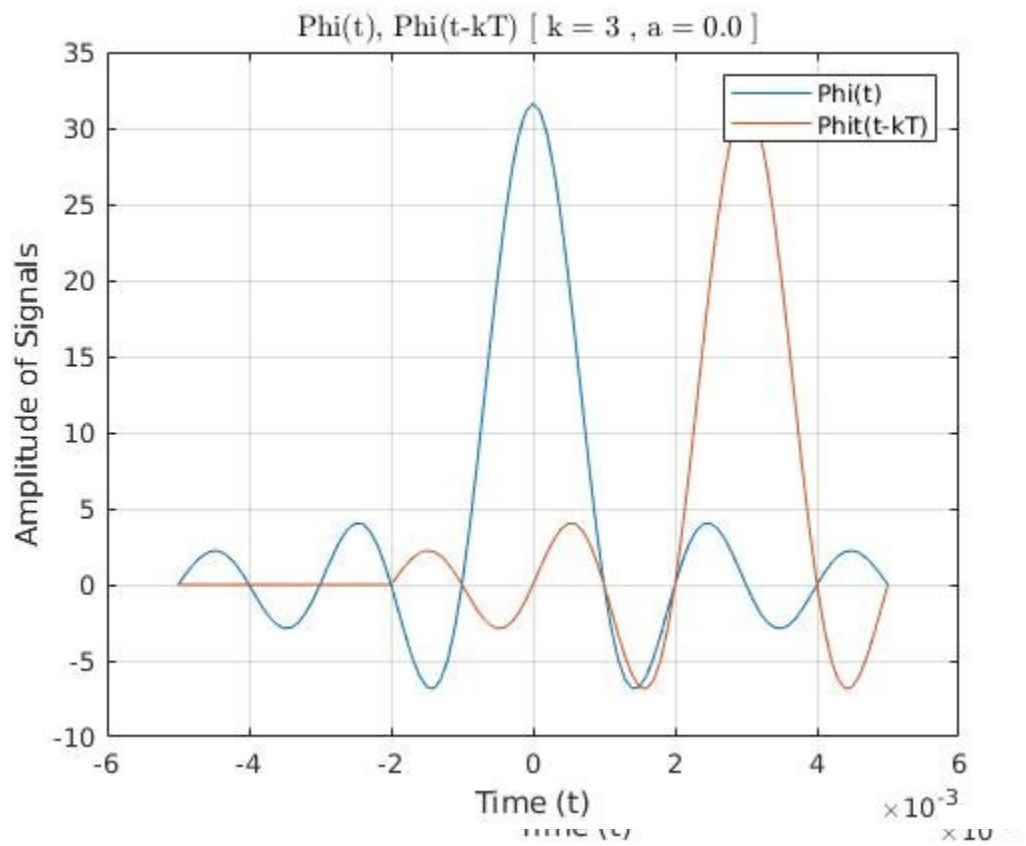
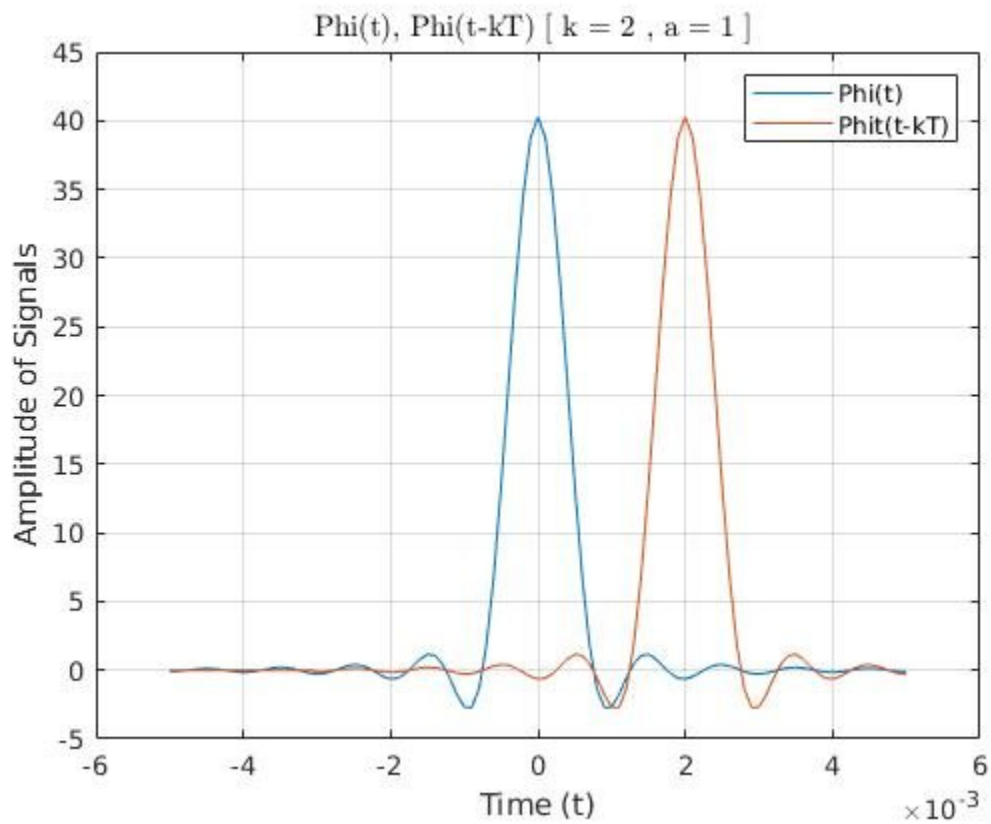


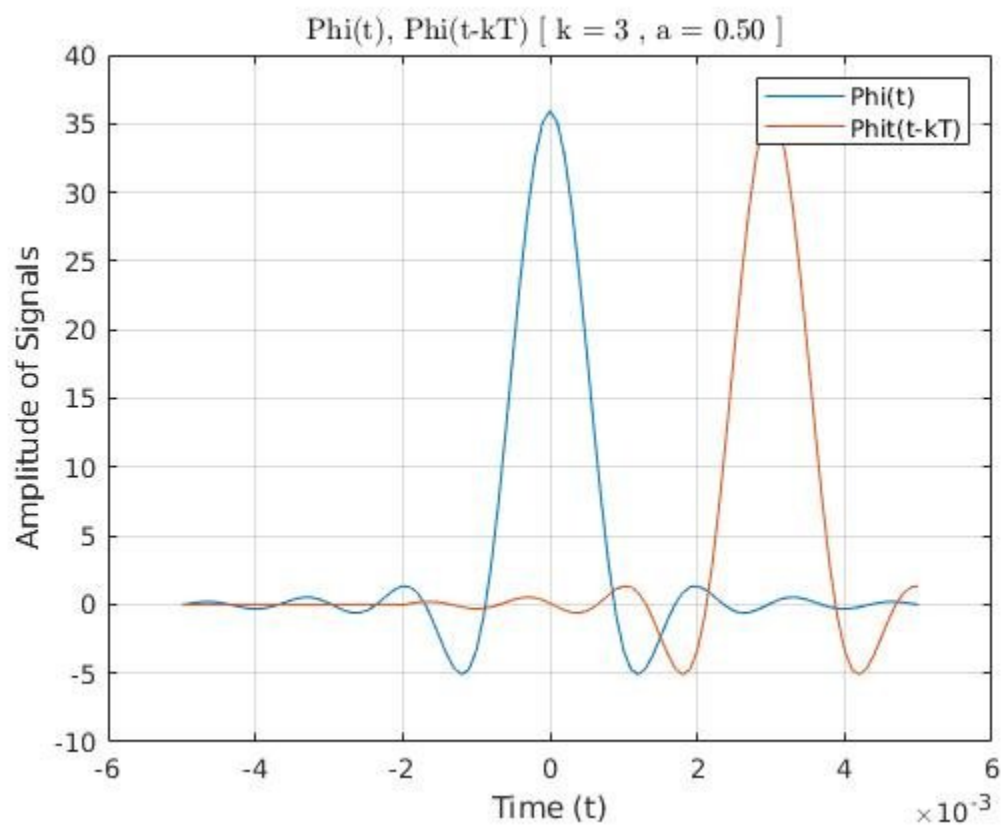
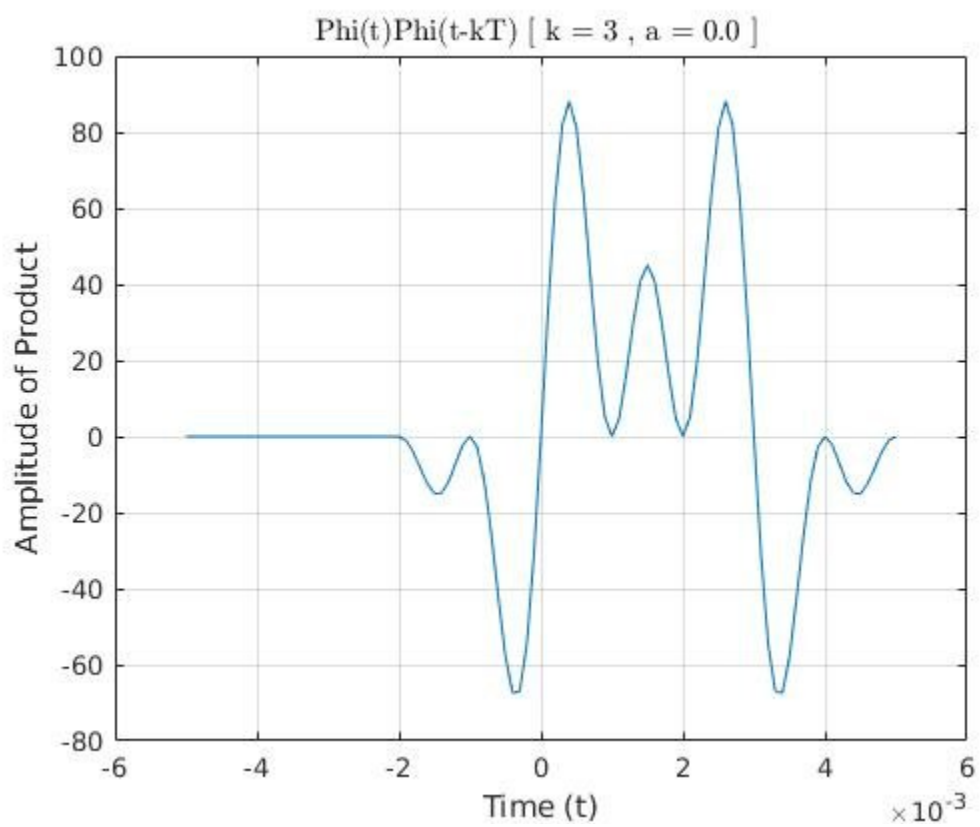


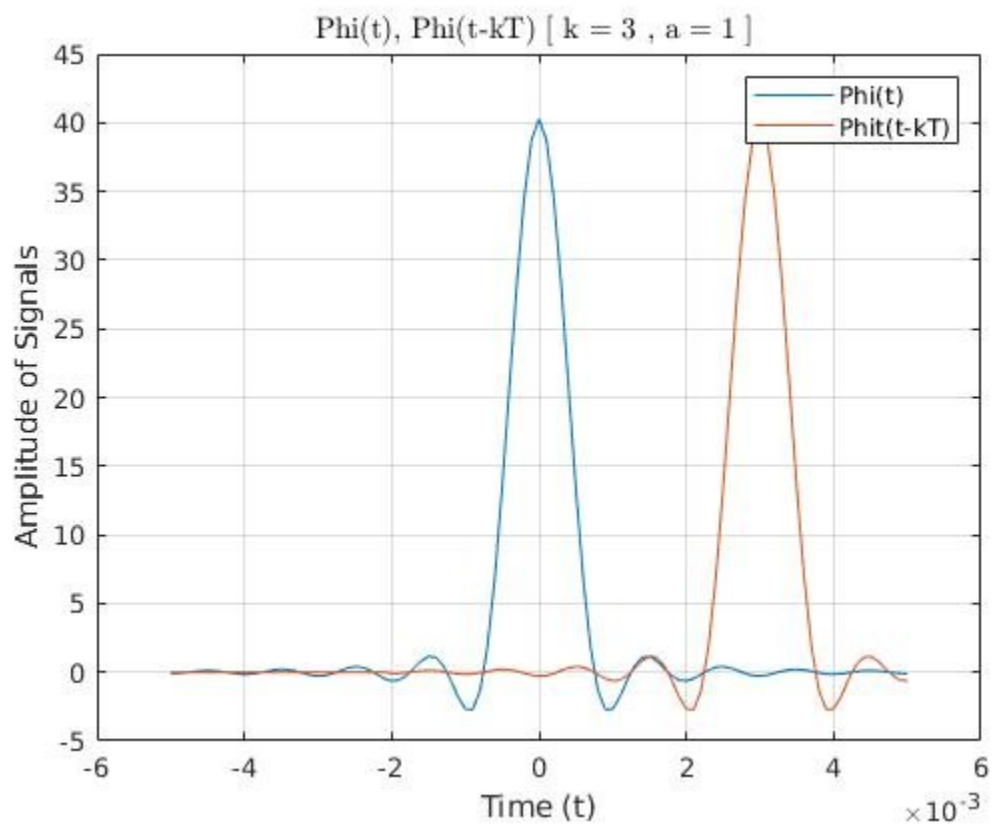
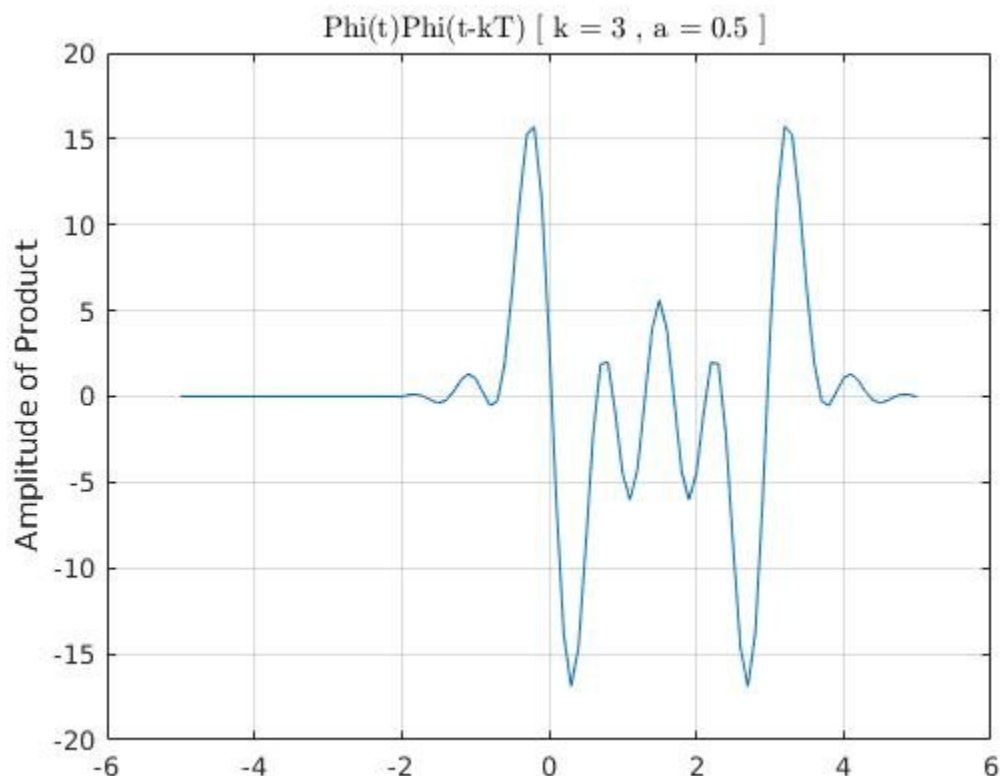


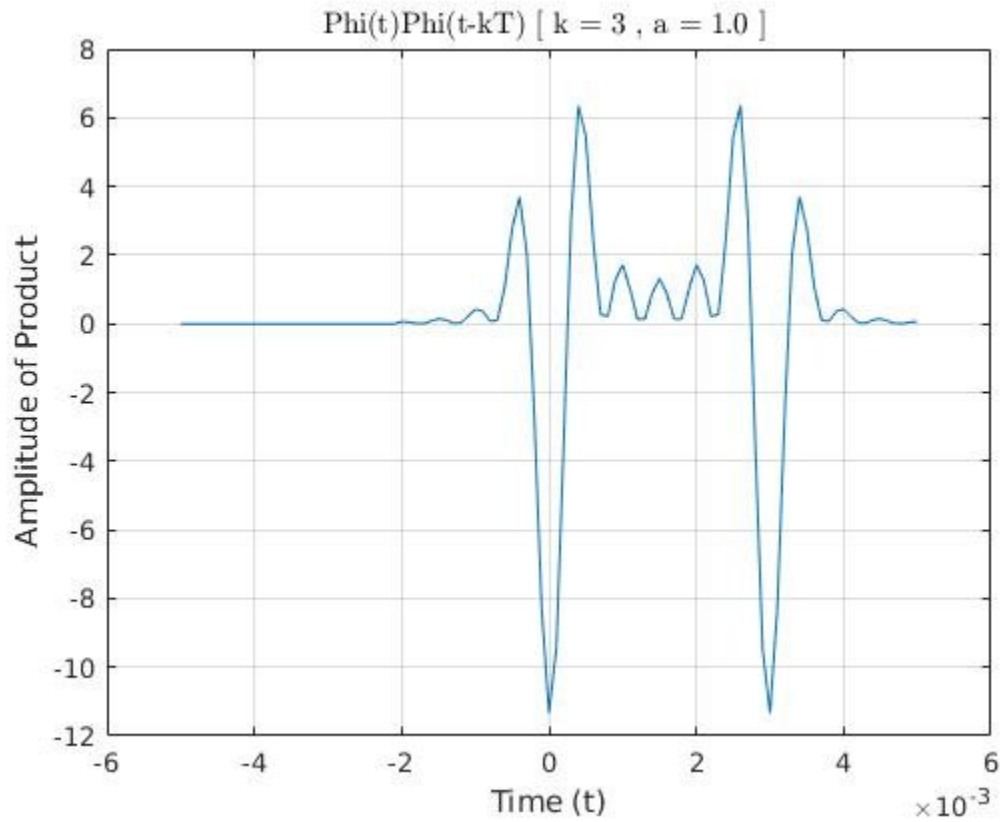












Ζητήθηκε πλέον αυτών ο υπολογισμός των ολοκληρωμάτων των γινομένων που παρουσιάστηκαν ο οποίος θεωρητικά περιγράφεται ως εξής:

$$\int_{-\infty}^{\infty} \varphi(\tau)\varphi(\tau - \kappa T)d\tau = \begin{cases} 1, \text{av } k = 0 \\ 0, \text{av } k \neq 0 \end{cases}$$

Ακολουθεί πίνακας των υπολογισθέντων, ιδιαίτερα μικρές τιμές οι οποίες ανάχθηκαν απο το λογισμικό σε μηδενικές ανακτήθηκαν απο τη βάση δεδομένων του λογισμικού (στη μορφή <num>e - <num>).

	<b><i>k=0</i></b>	<b><i>k=1</i></b>	<b><i>k=2</i></b>	<b><i>k=3</i></b>
<b><i>α=0</i></b>	0.9798	0.0226	-0.0258	0.0308
<b><i>α=0.5</i></b>	0.9999	-7.2284e-06	1.5853e-04	3.4844e-05
<b><i>α=1</i></b>	1.0000	-2.2124e-05	-3.3230e-05	-5.7614e-05

Εύκολα αντιλαμβανόμαστε σύμφωνα με τα ανωτέρω πως οι αποκομμένοι SRRC παλμοί είναι ορθοκανονικοί (ώς προς τις μετατοπίσεις  $kT$ ), έστω και προσεγγιστικά, με την προσέγγιση να βελτιώνεται για  $\alpha > 0$ .

Επιπλέον για  $k=0$ , ικανοποιείται η **ιδιότητα ορθοκανονικότητας** που περιγράφηκε, ενώ το εμβαδόν είναι περίπου όμοιο με το θεωρητικό.

## Μέρος Γ:

Στο τελευταίο κομμάτι της εργασίας προσομοιώθηκε ένα 2-PAM σύστημα βασικής ζώνης, το οποίο μεταφέρει  $N$  bits (με διαμόρφωση 2- PAM).

### Γ1.

Δημιουργία  $N$  τυχαίων bits μέσω της εντολής **(sign(randn(N,1))+1)/2**, η rand θα δημιουργήσει τυχαίους πραγματικούς αριθμούς τους οποίους η sign() θα μετατρέψει δεχόμενους ως όρισμα είτε σε +1 ή σε -1.

Η προσθήκη μονάδας (+1) στην αρχική κλήση εξασφαλίζει την προσομείωση στην περίπτωση του μηδενός ( $-1 \rightarrow 0$ ).

### Γ2.

Υλοποίηση συνάρτησης bits\_2\_PAM, η οποία με είσοδο την ακολουθία του Γ1, κάνει mapping τα bit ως εξής:

$$0 \longrightarrow +1,$$

$$1 \longrightarrow -1.$$

**Source code:**

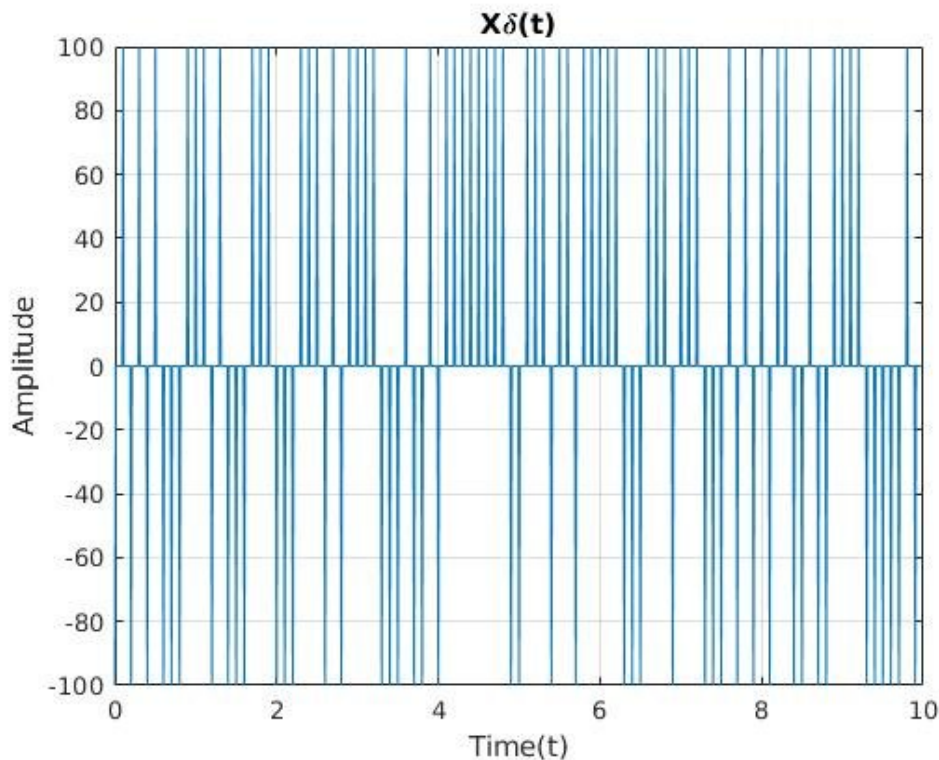
```
X=zeros(size(b)); %Initialise as zeros with respective length
for k=1:length(b)
    if(b(k)==0)
        X(k)=1;
    elseif(b(k)==1)
        X(k)=-1;
    else
        disp('Error')
        return
    end
end
end
```

$$X_{\delta}(t) = \sum_{k=0}^{N-1} X_k \delta(t - kT).$$

Συνεχίζοντας προσομοιώθηκε το σήμα

Το παραπάνω καθέστη δυνατό μέσω της εντολής  $X_{\text{delta}} = 1/T_s * \text{upsample}(X, \text{over})$  η οποία δέχεται ως όρισμα τα σύμβολα που προκύπτουν απο την 2-PAM και ένα διάστημα over, επιστρέφοντας over-1 μηδενικά τοποθετημένα σε ένα stream μεταξύ των συμβόλων (του X).

Ορίζοντας τον άξονα του χρόνου στο  $\Delta = [0, (N + N(\text{over}-1)) - 1]T_s$ , πετυχαίνουμε  $N(\text{over}-1)$  μηδενικά μεταξύ συμβόλων με το αποτέλεσμα να εικονίζεται παρακάτω.



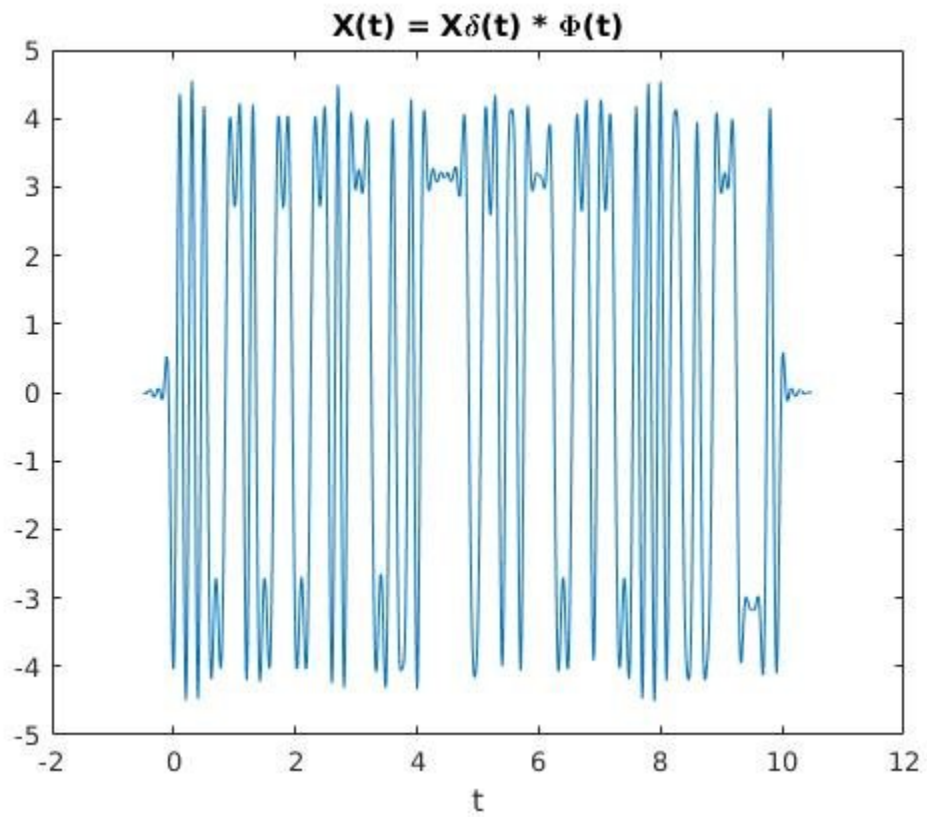
Πλέον αυτών δημιουργείται παλμός **SRRC**, ο οποίος *μέσω της conv()* *συνελίσσεται* με το άνωθεν σήμα. Ο ορισμός του διανύσματος χρόνου για αυτή τη διαδικασία είναι γνωστός και απο προηγούμενα μαθήματα ως το άθροισμα ελαχίστων και το άθροισμα μεγίστων τιμών των χρονικών διαστημάτων των συμμετεχόντων σημάτων, δηλαδή:

$$\begin{aligned} t_{\min}(\text{signal1}) + t_{\min}(\text{signal2}) &= t_{\min\_convolution} \\ t_{\max}(\text{signal1}) + t_{\max}(\text{signal2}) &= t_{\max\_convolution} \end{aligned}$$

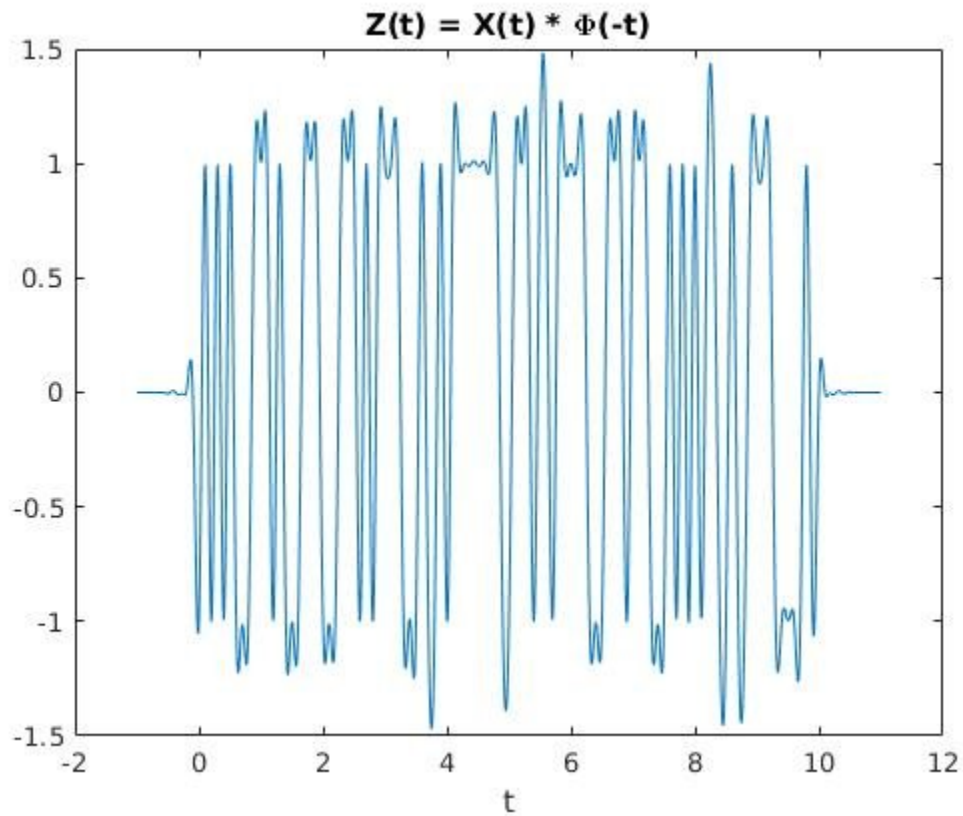
Το αποτέλεσμα ακολουθεί στη γραφική του μορφή:







Ακολουθώς “κατασκευάζεται” και η συνέλιξη του σήματος που προέκυψε ( $X(t)$ ) με τον ανακλασμένο  $\Phi(-t)$ . Εδώ τόσο ο χρόνος όσο και το ίδιο το διάνυσμα κατασκευάστηκαν με ανακλάσεις του αρχικού.

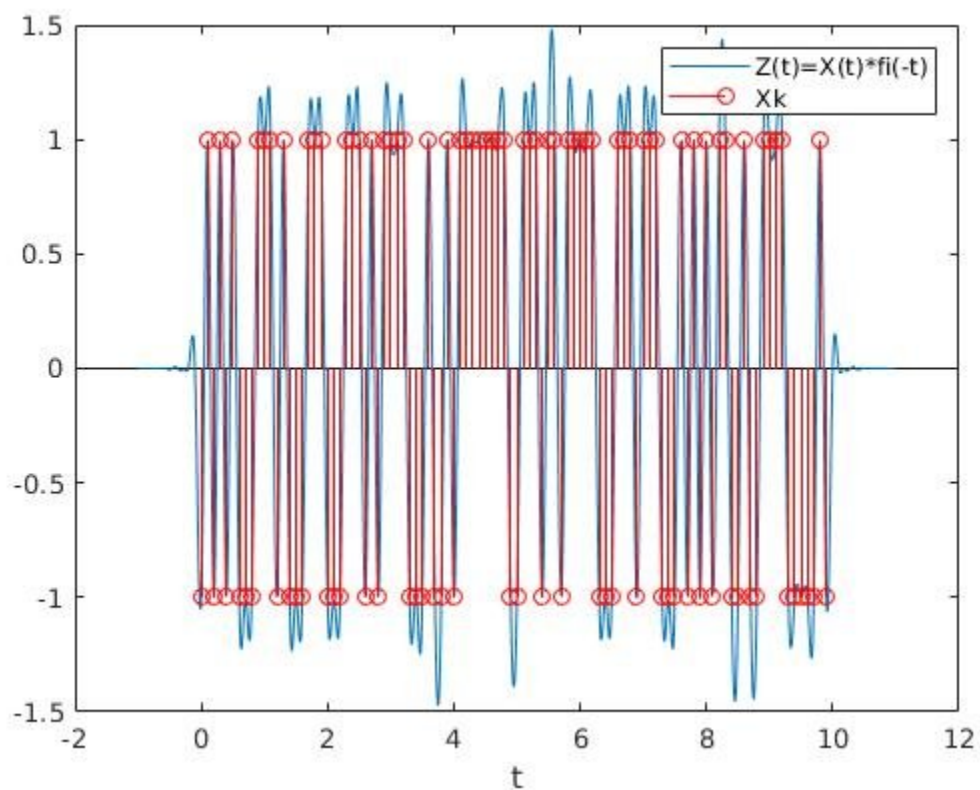


Η διαδικασία αυτή μπορεί να χαρακτηριστεί και ως **“φιλτράρισμα με προσαρμοσμένο φίλτρο”** (ιδανικό με βάση θεωρία).

Τέλος συγκρίνουμε γραφικά την  $Z(kT)$  με τα  $X_k$  εκτελώντας και την `stem([0:N-1]*T,X)`. Το αποτέλεσμα είναι τιμές του  $X_k$  διανύσματος να ταυτίζονται με τις  $Z(kT)$ .

Δηλαδή μπορούμε να ανακτήσουμε το αρχικό *stream* πληροφορίας δειγματοληπτώντας το  $Z$ .

Συνεπώς η συνολική διαδικασία του Μέρους Γ μπορεί να χαρακτηριστεί και “διαμόρφωση και αποδιαμόρφωση σήματος σε ιδανικό κανάλι”.



## Παράρτημα – Κώδικας:

```
clear all
close all
clc

%A.1

%define values under given assumptions

T = 10^(-3);
over = 10;
Ts = T/over;
A = 4;

%various roll-off factor values, will be simulated.

[phi1, t1] = srrc_pulse(T,Ts,A,0);
[phi2, t2] = srrc_pulse(T,Ts,A,0.5);
[phi3, t3] = srrc_pulse(T,Ts,A,1);

%open a figure, plot some stuff then hold until done plotting.

figure;
plot(t1,phi1,'r')
hold on;
plot(t2,phi2,'g')
plot(t3,phi3,'b')
legend('a = 0', 'a = 0.5', 'a = 1');
xlabel('Time (sec)', 'Interpreter', 'latex');
ylabel('SRRC pulses', 'Interpreter', 'latex');

title('SRRC pulses for various rolloff factor values (a \in {0, 0.5, 1})', 'Interpreter', 'latex')
grid on;
hold off;

%A.2

%given data
Nf=1024;
Fs=1/Ts;

%shifted signals

fft_phi1 = fftshift(fft(phi1,Nf)*Ts);
fft_phi2 = fftshift(fft(phi2,Nf)*Ts);
fft_phi3 = fftshift(fft(phi3,Nf)*Ts);

%defining the frequency axis - vector.

F=-Fs/2:Fs/Nf:Fs/2-Fs/Nf;

%spectrum of shifted signals

spec_phi1 = abs(fft_phi1).^2;
spec_phi2 = abs(fft_phi2).^2;
spec_phi3 = abs(fft_phi3).^2;
```

```

%plotting the energy spectrum
figure;
plot(F,spec_phi1,'r')
title('Common plot of Energy Spectrum', 'Interpreter', 'latex');
hold on;

plot(F,spec_phi2,'g')
plot(F,spec_phi3,'b')
legend('a = 0', 'a = 0.5', 'a = 1');
xlabel('Frequency (Hz)', 'Interpreter', 'latex');
ylabel('$\left|F(F)\right|^{\wedge\{2\}}$', 'Interpreter', 'latex');
grid on;

%semilogarithmic plot on a new figure

figure;
semilogy(F,spec_phi1,'r')
hold on;
semilogy(F,spec_phi2,'g')
semilogy(F,spec_phi3,'b')
legend('a = 0', 'a = 0.5', 'a = 1');
xlabel('Frequency (Hz)', 'Interpreter', 'latex');
ylabel('$\left|F(F)\right|^{\wedge\{2\}}$', 'Interpreter', 'latex');
title('Common Semilogarithmic plot of Energy Spectrum', 'Interpreter', 'latex')
grid on;
hold off;

%A.3

%defining the theoritical bandwidth [BW = (1+a)/2T]

B1=1/(2*T);
B2=1.5/(2*T);
B3=1/T;

%cut-off lines

c1=T/(10.^3);
c2=T/(10.^5);

%semilogarithmic plot

figure;
semilogy(F,spec_phi1,'r')
hold on;
semilogy(F,spec_phi2,'g')
semilogy(F,spec_phi3,'b')
semilogy([F(1) F(end)], [c1 c1], 'k')
semilogy([F(1) F(end)], [c2 c2], 'k')
legend('a = 0', 'a = 0.5', 'a = 1');
xlabel('Frequency (Hz)', 'Interpreter', 'latex');
ylabel('Energy spectrum of SRRC pulses', 'Interpreter', 'latex');
title('Depict and define BW of pulses for various a rollof factors', 'Interpreter', 'latex');
hold off;

%B - remove clearance if u have enough horsepower in ur GPU,RAM [I don't].

```

```
close all
clear all
clc
```

```
%redefining stuff.
```

```
T = 10.^(-3);
over = 10;
A = 5;
Ts = T/over;
k=0;
a=[0 0.5 1]; %roll-off factors gathered in a vector
```

```
%original signals construction
```

```
[phi1, t1] = srrc_pulse(T, Ts, A, a(1));
[phi2, t2] = srrc_pulse(T, Ts, A, a(2));
[phi3, t3] = srrc_pulse(T, Ts, A, a(3));
```

```
figure;
plot(t1,phi1,'r')
hold on;
plot(t2,phi2,'g');
hold on;
plot(t3,phi3,'b');
legend('a = 0', 'a=0.5', 'a = 1');
grid on;
title ('Original Signal for various a (roll - of factor) values', 'Interpreter', 'latex');
hold off;
```

```
%useful vectors
```

```
kVector=0:2*A;
```

```
% initialization
```

```
integr1=zeros(1,length(kVector));
integr2=zeros(1,length(kVector));
integr3=zeros(1,length(kVector));
```

```
for j=1:length(a)
```

```
    for k=0:2*A
```

```
        %zero-padding and concatenate
        phi1_kT=[zeros(1,(1/Ts)*k*T) phi1(1:end-(1/Ts)*k*T)];
        phi2_kT=[zeros(1,(1/Ts)*k*T) phi2(1:end-(1/Ts)*k*T)];
        phi3_kT=[zeros(1,(1/Ts)*k*T) phi3(1:end-(1/Ts)*k*T)];
```

```
        %products
        prod1=phi1.*phi1_kT;
        prod2=phi2.*phi2_kT;
        prod3=phi3.*phi3_kT;
```

```
        %integrals
```

```
        integr1(k+1)=sum(prod1)*Ts;
        integr2(k+1)=sum(prod2)*Ts;
```

```

integr3(k+1)=sum(prod3)*Ts;

%print job for respective rolloff factor (a) values and specific
%k-Values

if(( k ==0) || (k ==1) || ( k == 2) || (k == 3))

    if( j == 1 ) %case a = 0

        %draw orig. and delayed signals
        capt=sprintf('Phi(t), Phi(t-kT) [ k = %d , a = %.1f ] ',k,a(j));
        figure;
        plot(t1,phi1,t1,phi1_kT);
        legend('Phi(t)','Phit(t-kT)');
        grid on;
        title(capt, 'Interpreter', 'latex');
        xlabel('Time (t)');
        ylabel('Amplitude of Signals');

        %draw product of vectors
        capt=sprintf('Phi(t)Phi(t-kT) [ k = %d , a = %.1f ] ',k,a(j));
        figure;
        plot(t1,prod1);
        grid on;
        title(capt, 'Interpreter', 'latex');
        xlabel('Time (t)');
        ylabel('Amplitude of Product');

    elseif( j == 2 ) %case a = 0.5

        %draw orig. and delayed signals
        capt=sprintf('Phi(t), Phi(t-kT) [ k = %d , a = %.2f ] ',k,a(j));
        figure;
        plot(t2,phi2,t2,phi2_kT);
        legend('Phi(t)','Phit(t-kT)');
        grid on;
        title(capt, 'Interpreter', 'latex');
        xlabel('Time (t)');
        ylabel('Amplitude of Signals');

        %draw product of vectors
        capt=sprintf('Phi(t)Phi(t-kT) [ k = %d , a = %.1f ] ',k,a(j));
        figure;
        plot(t2,prod2);
        grid on;
        title(capt, 'Interpreter', 'latex');
        xlabel('Time (t)');
        ylabel('Amplitude of Product');

    else %case a = 1

        %draw orig. and delayed signals
        capt=sprintf('Phi(t), Phi(t-kT) [ k = %d , a = %d ] ',k,a(j));
        figure;
        plot(t3,phi3,t3,phi3_kT);
        legend('Phi(t)','Phit(t-kT)');
        grid on;
        title(capt, 'Interpreter', 'latex');
        xlabel('Time (t)');
        ylabel('Amplitude of Signals');

```

```

        %draw product of vectors
        capt=sprintf('Phi(t)Phi(t-kT) [ k = %d , a = %.1f ] ',k,a(j));

        figure;
        plot(t3,prod3);
        grid on;
        title(capt, 'Interpreter', 'latex');
        xlabel('Time (t)');
        ylabel('Amplitude of Product');

    end

end

end
end
end

```

```

%display the integrals, low values will be floored to zero by default

```

```

disp('Integral of product (a = 0) , K in [0,10] : ');
disp(integr1)
disp('Integral of product (a = 0.5), K in [0,10] : ');
disp(integr2)
disp('Integral of product (a = 1), K in [0,10] : ');
disp(integr3)

```

```

%C - comment clearance if available horsepower is present.

```

```

clear all
close all
clc

```

```

a = 0.5;
A = 5;
T = 0.1;
over = 10;
Ts = T/over;
N = 100;

```

```

%[c1]
%construct N random bits

```

```

b = (sign(randn(N, 1)) + 1)/2;

```

```

%[c2]
%transform the N-bits Vector created in 2PAM
X = bits_to_2PAM(b);

```

```

%simulate X(delta(t))=sum(Xk*delta(t-kT)) [by default]
xDelta=1/Ts*upsample(X,over);

```

```

%time Vector
%adds over-1 zeros between symbols respectively
tVector=0:Ts:(N+N*(over-1)-1)*Ts;

```

```

%drawing xDelta signal
figure;
plot(tVector,xDelta);
grid on;
xlabel('Time(t)');
ylabel('Amplitude');

```



```

title('X\delta(t)');

%Phi(t) signal pulse generation
[phi,t_phi] = srsrc_pulse(T,Ts,A,a);

%time Vector for convolution

convTime =tVector(1)+t_phi(1):Ts:tVector(end)+t_phi(end);

%implement the convolution between the two signals
x=conv(xDelta,phi)*Ts;

%draw the result

figure;
plot(convTime,x);
xlabel('t');
title('X(t) = X\delta(t) * \Phi(t)');

%constructing second signal,Phi(-t), by inverting time Axis and Values

phi_Inv=phi(end:-1:1);
t_Inv= -t_phi(end:-1:1);

%convoluting inverted signal with Xdelta

z=conv(x,phi_Inv)*Ts;

%new time Vector for the second convolution
convTime_Inv=convTime(1)+t_Inv(1):Ts:convTime(end)+t_Inv(end);

%draw the result
figure;
plot(convTime_Inv,z);
xlabel('t');
title('Z(t) = X(t) * \Phi(-t)');

figure;
plot(convTime_Inv,z);
hold on;
stem([0:N-1]*T,X,'r');
xlabel('t');
legend('Z(t)=X(t)*fi(-t)','X{k}')

```

**Συναρτήσεις:**

```
function X = bits_to_2PAM ( b )
% X = bits_to_2PAM(b)
% OUTPUT
%
Xk: Xk, k=0,...,N-1
% INPUT
%
b: sequence of bits% USAGE:
% Map the input bits as shown below:
%
% Inp.
Output.
% 0
-> +1
% 1
-> -1
%
% Konstantinos T. Pantelis (the whole ECE Dept. as well has a prototype of this function)
X=zeros(size(b)); %Initialise as zeros with respective length
for k=1:length(b)
if(b(k)==0)
X(k)=1;
elseif(b(k)==1)
X(k)=-1;
else
disp('Error')
return
end
end
end
function [phi, t] = srcc_pulse(T, Ts, A, a)
%%%%%%%%%%%%%%%%%%%%%%%%%%%%%%%%%%%%%%%%%%%%%%%%%%%%%%%%%%%%%%%%%%%%%%%%%%%%%%
%%%%%%%%%%%%%%%%%%%%%%%%%%%%%%%%%%%%%%%%%%%%%%%%%%%%%%%%%%%%%%%%%%%%%%%%%%%%%%
% phi = srcc_pulse(T, Ts, A, a)
%
% OUTPUT
%
%
phi: truncated SRRC pulse, with parameter T,
%
%
roll-off factor a, and duration 2*A*T
%
%
t: time axis of the truncated pulse
%
% INPUT
%
% T: Nyquist parameter or symbol period (positive real number)
%
% Ts: sampling period (Ts=T/over)
%
%
where over is a positive INTEGER called oversampling factor %
% A: half duration of the pulse in symbol periods (positive INTEGER) %
%
a: roll-off factor (real number between 0 and 1)
%
%
%
% A. P. Liavas, Nov. 2011
%
```

```

t = [-A*T:Ts:A*T] + 10^(-8); % in order to avoid division by zero problems at t=0.
if (a>0 && a<=1)
num = cos((1+a)*pi*t/T) + sin((1-a)*pi*t/T) ./ (4*a*t/T);
denom = 1-(4*a*t./T).^2;
phi = 4*a/(pi*sqrt(T)) * num ./ denom;
elseif (a==0)
phi = 1/(sqrt(T)) * sin(pi*t/T)./(pi*t/T);
else
phi = zeros(length(t),1);
disp('Illegal value of roll-off factor')
return
end

```